

图5. 对12例TAVR后有一定程度PVL的位置进行预测。在胀形指数图像中，绿色箭头指示主要PVL位点的正确预测；红色箭头表示最大胀形指数没有预测主要的PVL位点；黄色箭头指示次最大高胀形指数对应于主要PVL位点。在经食管超声心动图(TEE)图像中，白色箭头指示主要PVL位点，黄色箭头指示次要PVL位点[44]。

和最完善的技术是激光诱导向前转移(LIFT)、喷墨生物打印和机器喷涂。

3.1. 生物打印策略

LIFT是一种可以将细胞沉积到接收基底上的技术。通常，将激光脉冲束施加在包含源油墨（即水凝胶和细胞）的供体载玻片或带上，随后蒸发油墨使高压气泡朝向位于供体载玻片下方的接收基板喷射。通过控制供体载玻片或基底的移动，沉积的2D图案可以在逐层融合中形成3D结构[49,63–65]。例如，Michael的小组[66]利用这种技术，通过在无细胞皮肤替代物(Matiderm)上印制纤维细胞和角质形成细胞来制造完全细胞化的皮肤基质，模拟了天然皮肤的微环境。体内实验的结果表明打印的细胞存活良好，并且可以在皮肤构建体中观察到新血管生成，这意味着激光打印可能是用于创建3D组织的适当策略。多种细胞类型的异质结构也可以通过喷墨打印来构建。Xu等[67]使用热喷墨打印机制作了由干细胞、平滑肌细胞和内皮细胞组成的饼状3D构建体。

与普通喷墨打印方法（通常将墨水喷射到固体基质上以获得3D构建体[68–70]）相反，将细胞与氯化钙(CaCl_2)组合以形成生物墨水，并将墨水喷射到藻酸盐-胶原溶液中。由于形成了 Ca^{2+} -藻酸盐复合物的“蛋盒”螯合结构，聚合物溶液表面受墨滴影响的部分瞬间固化。体外实验的结果表明打印的细胞能够在3D构建体中存活、增殖并维持细胞功能。更重要的是，干细胞和内皮细胞植入小鼠体内6周后能够分别分化成骨组织和血管。

与LIFT技术相比，喷墨生物打印的主要缺点是打印细胞的活性会因为临界剪应力而显著降低，该临界剪应力由生物墨水通过喷嘴并沉积在基板上产生[59,66]。当生物墨水通过喷嘴沉积在基板上时[59,66]，打印细胞的活性被临界剪应力显著降低。另外，打印过程中会发生细胞聚集致使细胞沉淀，使喷嘴堵塞和结构中细胞分布不均匀[65,68,71]。尽管这两种技术都能够根据需要精确地创建由多种细胞类型组成的三维结构，但这些打印策略通常会产生小规模聚集，这是临床中实际应用的障碍[63,71]。受到LIFT和喷墨生物打印技术创建3D细胞

3D生物打印还可以与直接写入技术相结合。直接写入技术通常用于印刷电子行业，作为平版印刷或丝网印刷的替代方案。通过集成直接写入技术，3D生物打印过程可以在支架中进行选择性表面改性。图7展示了使用挤出和气溶胶喷射打印技术的原位生长因子接枝的3D生物打印的概念设置。

图8比较了用多种生长因子制备支架的两种方法。尽管预混法需要更多的材料准备步骤，但其打印过程对于多头3D打印机来说相对简单。这两种生长因子在打印过程中也不太可能交叉污染。原位接枝法不需要材料准备步骤，但要求对支架进行3D打印和涂层的整合，其具有改变体积的能力，从而为控制局部细胞密度提供了有效途径。此外，体积变化引起的孔隙度的变化意味着培养基流入和流出支架，补充内部细胞的营养物质并带走废物。由于使用涂层技术，两种生长因子之间存在

交叉污染的风险。然而，涂层步骤与支架印刷步骤无关，这使得设计自由度更高、涂层模式更详细。

3.2.2. 可变支架

生物打印技术可以精确控制打印结构中的初始细胞分布状况。然而，一旦细胞开始在生物反应器中生长并通过自组装从而再生成组织，目前没有任何控制方法可以始终在整个支架内保持最佳的生物微环境。换句话说，使用目前生物打印技术应用到TE方面时，大多数细胞的生长不受控制。细胞生长本质上是一个在质量、数量和产量上具有高度可变性的过程。尽管每个单个细胞的生长状况难以预料，但是大量细胞培养物的生长在很大程度上可以通过环境因素来控制，包括通过控制局部细胞密度[75,81]和离子交换速率[108,111]的方法来调控细胞生长。如果在一个没有支架的细胞培养过程中，我们通常利用某些搅动或灌注方法来确保在该培养过程中局部细胞分布是近乎均匀的，这可以促进营养素、生长因子和废物之间的相互交换过程。支架则会阻碍这一相互交换过程。研究表明，一旦细胞密度达到某一临界点，支架上的细胞在生长速率[102,108]和细胞活力[92]方面达不到最佳状态。

在不久的将来，由3D打印的拉胀超材料制成的支架可以解决这一问题。拉胀超材料[119,120]是具有重

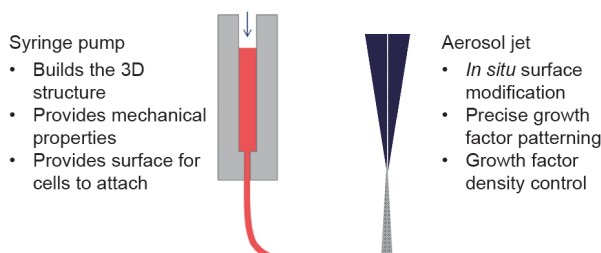


图7. 原位表面修饰的概念设置。

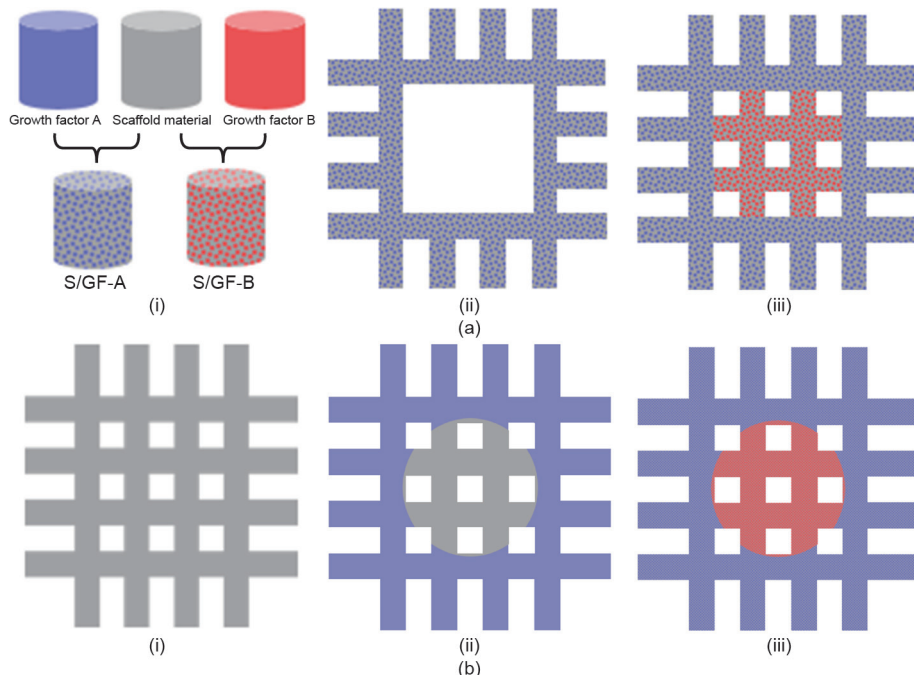


图8. 预混法和原位接枝法制备多种生长因子支架的比较。(a) 预混法：(i) 将支架材料与生长因子混合；(ii) 在区域A打印支架材料/生长因子A（S/GF-A）作为支架；(iii) 在区域B打印支架材料/生长因子B（S/GF-B）作为支架。(b) 原位接枝法：(i) 用纯支架材料打印支架；(ii) 用生长因子A涂覆区域A；(iii) 用生长因子B涂覆区域B。

- [110] Lee H, Ahn S, Bonassar LJ, Kim G. Cell(MC3T3-E1)-printed poly(ϵ -caprolactone)/alginate hybrid scaffolds for tissue regeneration. *Macromol Rapid Commun* 2013;34(2):142–9.
- [111] Zhang J, Zhao S, Zhu M, Zhu Y, Zhang Y, Liu Z, et al. 3D-printed magnetic $\text{Fe}_3\text{O}_4/\text{MBG}/\text{PCL}$ composite scaffolds with multifunctionality of bone regeneration, local anticancer drug delivery and hyperthermia. *J Mater Chem B* 2014;2(43):7583–95.
- [112] Nitya G, Nair GT, Mony U, Chennazhi KP, Nair SV. *In vitro* evaluation of electrospun PCL/nanoclay composite scaffold for bone tissue engineering. *J Mater Sci Mater Med* 2012;23(7):1749–61.
- [113] Jin G, Kim G. The effect of sinusoidal AC electric stimulation of 3D PCL/CNT and PCL/ β -TCP based bio-composites on cellular activities for bone tissue regeneration. *J Mater Chem B* 2013;1(10):1439–52.
- [114] Mackle JN, Blond DJP, Mooney E, McDonnell C, Blau WJ, Shaw G, et al. *In vitro* characterization of an electroactive carbon-nanotube-based nanofiber scaffold for tissue engineering. *Macromol Biosci* 2011;11(9):1272–82.
- [115] Saeed K, Park SY, Lee HJ, Baek JB, Huh WS. Preparation of electrospun nanofibers of carbon nanotube/polycaprolactone nanocomposite. *Polymer* 2006;47(23):8019–25.
- [116] Anaraki NA, Rad LR, Irani M, Haririan I. Fabrication of PLA/PEG/MWCNT electrospun nanofibrous scaffolds for anticancer drug delivery. *J Appl Polym Sci* 2015;132(3):41286.
- [117] Yang C, Chen S, Wang J, Zhu T, Xu G, Chen Z, et al. A facile electrospinning method to fabricate polylactide/graphene/MWCNTs nanofiber membrane for tissues scaffold. *Appl Surf Sci* 2016;362:163–8.
- [118] Supronowicz PR, Ajayan PM, Ullmann KR, Arulanandam BP, Metzger DW, Bizios R. Novel current-conducting composite substrates for exposing osteoblasts to alternating current stimulation. *J Biomed Mater Res* 2002;59(3):499–506.
- [119] Lee JS, Jin GH, Yeo MG, Jang CH, Lee H, Kim GH. Fabrication of electrospun biocomposites comprising polycaprolactone/fucoidan for tissue regeneration. *Carbohydr Polym* 2012;90(1):181–8.
- [120] Luo Y, Wu C, Lode A, Gelinsky M. Hierarchical mesoporous bioactive glass/alginate composite scaffolds fabricated by three-dimensional plotting for bone tissue engineering. *Biofabrication* 2013;5(1):015005.
- [121] Luo Y, Lode A, Sonntag F, Nies B, Gelinsky M. Well-ordered biphasic calcium phosphate-alginate scaffolds fabricated by multi-channel 3D plotting under mild conditions. *J Mater Chem B* 2013;1(33):4088–98.
- [122] Wang K, Chang YH, Wang B, Zhang C. Printed electronics: Principles, materials, processes, and applications. In: Geng H, editor *Semiconductor manufacturing handbook*. 2nd ed. New York: McGraw-Hill Education; 2017. p. 245–316.